

УДК 539.3

ЧИСЛЕННОЕ МОДЕЛИРОВАНИЕ ДЕФОРМИРОВАНИЯ ТРУБОПРОВОДА С ЖИДКОСТЬЮ ПРИ УДАРНОМ НАГРУЖЕНИИ^{*)}

С.В. Зефиоров, А.В. Кочетков, И.А. Мясумов, А.О. Савихин

НИИ механики Нижегородского государственного университета им. Н.И. Лобачевского

Представлены математическая модель и методика численного решения плоской задачи динамического взаимодействия ударника с трубопроводом, содержащим и не содержащим жидкость. Показаны особенности волновых процессов для безопорного участка трубопровода и для трубопровода, опирающегося на неподвижную плоскую поверхность. Анализируется влияние заполняющей жидкости.

Ключевые слова: трубопровод, упругость, пластичность, деформация, удар, жидкость.

Исследование процессов деформации трубопроводов при ударном нагружении представляет интерес в связи с широким кругом приложений в нефтегазовой сфере, атомной промышленности и строительстве. Для предотвращения аварийных ситуаций, например утечки нефтепродуктов или теплоносителя в атомной энергетике, необходимо оценить прочность труб под воздействием импульсных нагрузок.

Вопросам динамического деформирования трубопроводов при ударных нагрузках посвящен ряд научных статей, например [1–3], однако влияние заполняющей жидкости в них учитывается не полностью либо не учитывается совсем. Математическая формулировка данной задачи должна включать уравнения деформирования оболочки трубопровода, уравнения движения ударника и заполняющей жидкости. Ударное воздействие вызывает сложную волновую картину деформации поперечного сечения трубной оболочки на участке её контакта с ударником, вынужденное движение заполняющей трубопровод сжимаемой жидкости, контактное взаимодействие с опорной поверхностью (если она имеется). Решение этой проблемы требует моделирования сложных нелинейных и взаимосвязанных между собой физических процессов, учета больших перемещений и необратимых деформаций в оболочке трубопровода, контактного взаимодействия трубной оболочки с ударником, сжимаемой внутренней жидкостью и опорной поверхностью, эффектов отрыва друг от друга и повторного их соударения. Дело осложняется также тем, что поло-

^{*)} Выполнено в рамках реализации ФЦП «Научные и научно-педагогические кадры инновационной России» на 2009–2013 годы, Программы государственной поддержки ведущих научных школ РФ (проект НШ-4807.2010.8), а также при поддержке РФФИ (проект 11-08-97040-р_поволжье_а).

жение контактных поверхностей заранее неизвестно и должно определяться в ходе решения задачи.

В настоящей работе численное моделирование задач осуществляется в плоской постановке на основе вариационно-разностного метода, реализованного в пакете прикладных программ (ППП) «Динамика-2» [4, 5]. Принимается, что в меридиональном сечении сплошная среда занимает область Ω , ограниченную контуром G , которую всегда можно разбить на односвязные подобласти:

$$\Omega = \bigcup_j \Omega_j, \quad G = \bigcup_j G_j, \quad j = \overline{1, D}. \quad (1)$$

Движение среды описывается в переменных Лагранжа уравнениями, следующими из вариационного принципа Даламбера–Лагранжа в форме Журдена, в неподвижной декартовой системе координат r, z :

$$\begin{aligned} & \iint_{\Omega} (\sigma_{rr} \delta \dot{e}_{rr} + \sigma_{zz} \delta \dot{e}_{zz} + 2\sigma_{rz} \delta \dot{e}_{rz}) r d\Omega + \\ & + \iint_{\Omega} \rho (\ddot{u}_r \delta u_r + \ddot{u}_z \delta u_z) r d\Omega - \int_G (p_r \delta u_r + p_z \delta u_z) r dS - \\ & - \int_G (q_r \delta u_r + q_z \delta u_z) r dS = 0. \end{aligned} \quad (2)$$

Здесь σ_{ij} , \dot{e}_{ij} – компоненты тензоров напряжений Коши и скоростей деформаций, \dot{u}_α – скорости перемещений; p_α, q_α – компоненты поверхностной нагрузки и контактного давления ($\alpha = r, z$), ρ – плотность среды.

Учет геометрической нелинейности осуществляется поэтапной перестройкой конфигурации сеточной модели во времени. Связь компонент тензора скоростей деформаций со скоростями перемещений определяется в метрике текущего состояния:

$$\dot{e}_{rr} = \dot{u}_{r,r}, \quad \dot{e}_{zz} = \dot{u}_{z,z}, \quad \dot{e}_{rz} = \frac{1}{2} (\dot{u}_{z,r} + \dot{u}_{r,z}). \quad (3)$$

Для описания упругопластических свойств материалов применяется теория течения с линейным кинематическим упрочнением. Полагается, что скорость деформации \dot{e}_{ij} можно представить в виде суммы скоростей упругой \dot{e}_{ij}^y и пластической \dot{e}_{ij}^p составляющих:

$$\dot{e}_{ij} = \dot{e}_{ij}^y + \dot{e}_{ij}^p. \quad (4)$$

Связь между скоростями девiatorных компонент напряжений $\dot{\sigma}'_{ij} = \dot{\sigma}_{ij} - \delta_{ij} \dot{\sigma}$ и скоростями упругих составляющих девiatorа деформаций $\dot{e}'_{ij} = \dot{e}_{ij} - \delta_{ij} \dot{e} - \dot{e}_{ij}^p$ определяется в виде:

$$D_J \dot{\sigma}'_{ij} = 2G \dot{e}'_{ij}, \quad D_J \dot{\sigma}'_{ij} = \dot{\sigma}'_{ij} - \dot{\omega}_{ik} \dot{\sigma}'_{kj} - \dot{\omega}_{jk} \dot{\sigma}'_{ik}, \quad \dot{\omega}_{ij} = \frac{1}{2} (\dot{u}_{i,j} - \dot{u}_{j,i}), \quad (5)$$

где D_J – производная Яуманна, G – модуль сдвига, δ_{ij} – символ Кронекера.

Связь между скоростями шаровых составляющих тензоров напряжений $\dot{\sigma}$ и деформаций \dot{e} полагается линейной:

$$\dot{\sigma} = 3K\dot{e}, \quad \dot{\sigma} = \frac{1}{3} \dot{\sigma}_{ii}, \quad \dot{e} = \frac{1}{3} \dot{e}_{ii}, \quad \dot{e}_{ii}^p = 0, \quad (6)$$

где K – модуль объемного сжатия.

Уравнение поверхности текучести, ограничивающей в пространстве девиаторов напряжений область упругих состояний, принимается в форме Мизеса. Скорости пластических составляющих деформации определяются ассоциированным законом течения:

$$\begin{aligned} \dot{\epsilon}_{ij}^p = \lambda s_{ij}, \quad s_{ij} s_{ij} = \frac{2}{3} C(\kappa)^2, \quad s_{ij} = \sigma_{ij} - \delta_{ij} \sigma - \rho_{ij}, \quad \sigma = \frac{1}{3} \sigma_{ii}, \quad \dot{\rho}_{ij} = 2g \dot{\epsilon}_{ij}^p, \\ g = g(J_{2\rho}), \quad \rho_{ij} = \int_0^t \dot{\rho}_{ij} dt, \quad J_{2\rho} = \sqrt{\frac{2}{3}} \sqrt{\rho_{ij} \rho_{ij}}. \end{aligned} \quad (7)$$

Здесь $C = C(\kappa)$ – радиус поверхности текучести ($\kappa = \sqrt{2/3} \int_0^t \sqrt{\dot{\epsilon}_{ij}^p \dot{\epsilon}_{ij}^p} dt$ – параметр Одквиста); ρ_{ij} – тензор микронапряжений, определяющий координаты центра поверхности текучести; g – модуль анизотропного упрочнения, который в первом приближении можно принять в виде [6]:

$$g = g_0 - (g_0 - g) \text{sign}(\rho_{ij} s_{ij}), \quad g = g(J_{2\rho}), \quad g_0 = g(J_{2\rho} = 0). \quad (8)$$

Параметр λ равен нулю при упругом деформировании и определяется из условия прохождения мгновенной поверхности текучести через конец вектора догрузки при пластическом деформировании.

Решение определяющей системы уравнений при заданных начальных и граничных условиях производится по явной конечно-разностной схеме интегрирования по времени типа «крест». Пространственные производные аппроксимируются, исходя из дивергентной схемы аппроксимации производных, в предположении линейного изменения вдоль каждой из сторон четырехугольной элементарной ячейки. Перемещения и скорости перемещений определяются в узлах разностной сетки, а тензоры напряжений и скоростей деформаций – в центрах ячеек.

В вариационном уравнении движения (2) компоненты контактного усилия q_α ($\alpha = r, z$) заранее неизвестны и определяются в процессе решения задачи [7]. Для простоты полагается, что контактное взаимодействие возможно только между отдельными конструктивными элементами, которые занимают в меридиональном сечении или на плоскости roz односвязные подобласти Ω_j , ограниченные контурами G_j .

На контактных границах G_j вводится местный координатный базис s, ξ , связанный с деформированной поверхностью: s – направление касательной, ξ – направление нормали к поверхности. Для определения сил контактного взаимодействия используются симметричные алгоритмы контакта на несогласованных разностных сетках, обеспечивающие непроникание по нормали и проскальзывание вдоль касательной без учета и с учетом трения [7]. Для алгоритма контакта без трения усилие по нормали определяется из условия непроникания:

$$\begin{cases} \dot{u}'_\xi = \dot{u}''_\xi, \\ \dot{q}'_\xi = -\dot{q}''_\xi, \end{cases} \quad q_\xi = q'_\xi = \begin{cases} 0, & q_\xi \geq 0, \\ q_\xi, & q_\xi < 0, \end{cases} \quad (9)$$

касательные усилия полагаются равными нулю: $q'_s = q''_s = 0$. Для модели контакта с трением усилие по нормали определяется из условия непроникания:

$$\begin{cases} \dot{u}'_\xi = \dot{u}''_\xi, \\ \dot{q}'_\xi = -\dot{q}''_\xi, \end{cases} \quad q_\xi = q'_\xi = \begin{cases} 0, & q_\xi \geq 0, \\ q_\xi, & q_\xi < 0, \end{cases} \quad (10)$$

касательное усилие на первом этапе находится из условия жесткой склейки, а в случае превышения силы трения покоя – в соответствии с законом Кулона:

$$\begin{cases} \dot{u}'_s = \dot{u}''_s, \\ q'_s = -q''_s, \end{cases} \quad q_s = q'_s = \begin{cases} q_s, & |q_s| \leq k_\xi |q_\xi|, \\ k_\xi |q_\xi| \operatorname{sign}(q_s), & |q_s| > k_\xi |q_\xi|. \end{cases} \quad (11)$$

Связь контактирующих подобластей полагается односторонней, т.е. возможен отрыв поверхностей друг от друга и повторное вступление их в контакт. Поэтому условия (9)–(11) применяются только для сжимающих усилий.

Задача соударения тела, имеющего форму протяженного прямоугольного параллелепипеда, с оболочкой трубопровода без внутренней жидкости рассматривалась в двух вариантах (рис. 1). Первый вариант расчетов (см. рис. 1,а) предполагал ударное воздействие на свободный (безопорный) участок трубопровода. Во втором варианте (см. рис. 1,б) предполагалось, что трубопровод опирается на неподвижную жесткую плоскую поверхность.

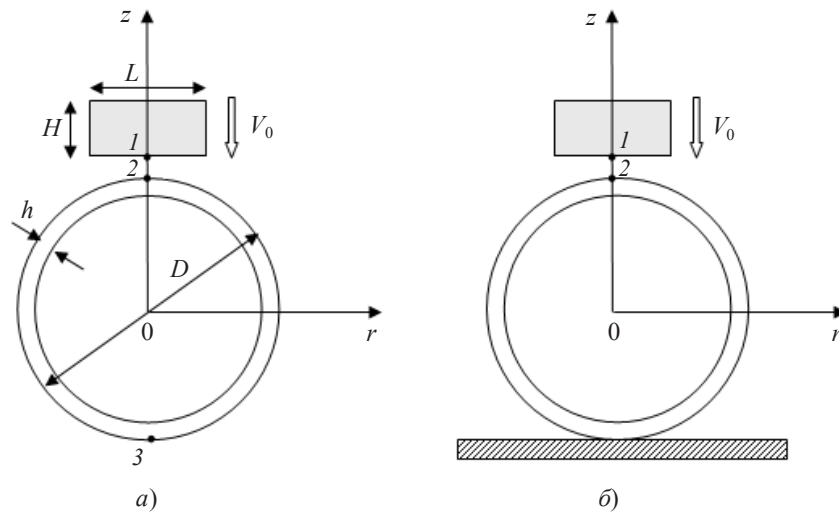


Рис. 1

Тело-ударник имеет начальную скорость $V_0 = 10$ м/с. Геометрические размеры ударника и трубопровода: $L = 24$ см, $H = 6$ см, $D = 45,7$ см, $h = 0,7$ см. Оболочка трубопровода и ударник выполнены из стали с параметрами $K = 1,7 \cdot 10^5$ МПа, $G = 0,77 \cdot 10^5$ МПа, предел текучести $\sigma_T = 200$ МПа, модуль упругости $g = 140$ МПа, $\rho = 7800$ кг/м³. Погонная масса ударника – 772 г/см, трубы – 1123 г/см. Расчеты проводились на сетке из 300×3 ячеек по сечению трубы и 48×24 ячеек по ударнику.

Постановка задачи численного моделирования ударного взаимодействия тела с трубопроводом, заполненным жидкостью (водой), также соответствует рис. 1, только предполагается, что полость трубопровода содержит сжимаемую среду, описываемую теми же уравнениями, что и упругопластическая среда с объемным модулем $K = 2250$ МПа и малым сдвиговым модулем $G \approx 0,1$ МПа, $\rho = 1000$ кг/м³, погонная масса жидкости – 1541,3 г/см. Внутренняя полость трубы покрывалась сеткой из 34000 четырехугольных ячеек. Параметры по ударнику и оболочке были те же, что и в предыдущей задаче.

На рис. 2 показаны деформированные формы оболочки трубопровода в различ-

ные моменты времени (время измеряется в мс), полученные для варианта трубопровода без жидкости, опирающегося на неподвижную плоскую поверхность. В силу симметрии задачи приведена половина сечения трубы.

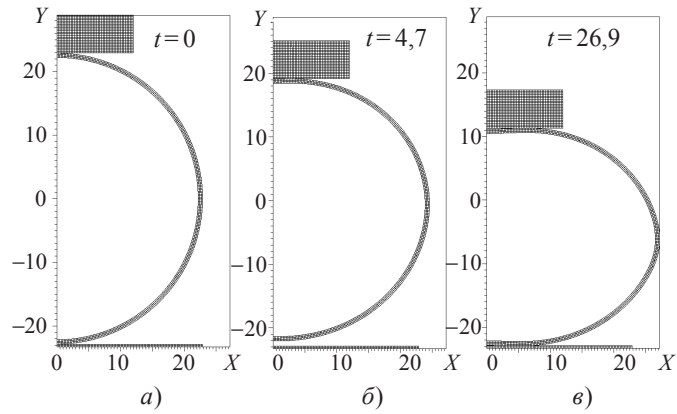


Рис. 2

Значения средних по сечению величин скорости v_z и перемещения u_z в зависимости от времени для трубопровода с внутренней жидкостью и без нее, изображают соответственно кривые 1 и 2 на рис. 3. При этом рис. 3,а,б относятся к свободному трубопроводу, рис. 3,в,г – к трубопроводу, опирающемуся на плоскую поверхность. В варианте оболочки, опертой на неподвижную плоскую поверхность, наблюдается более интенсивное деформирование трубной оболочки, причем на контактных поверхностях и в боковой области оболочки изгибные напряжения вызывают пластическое течение.

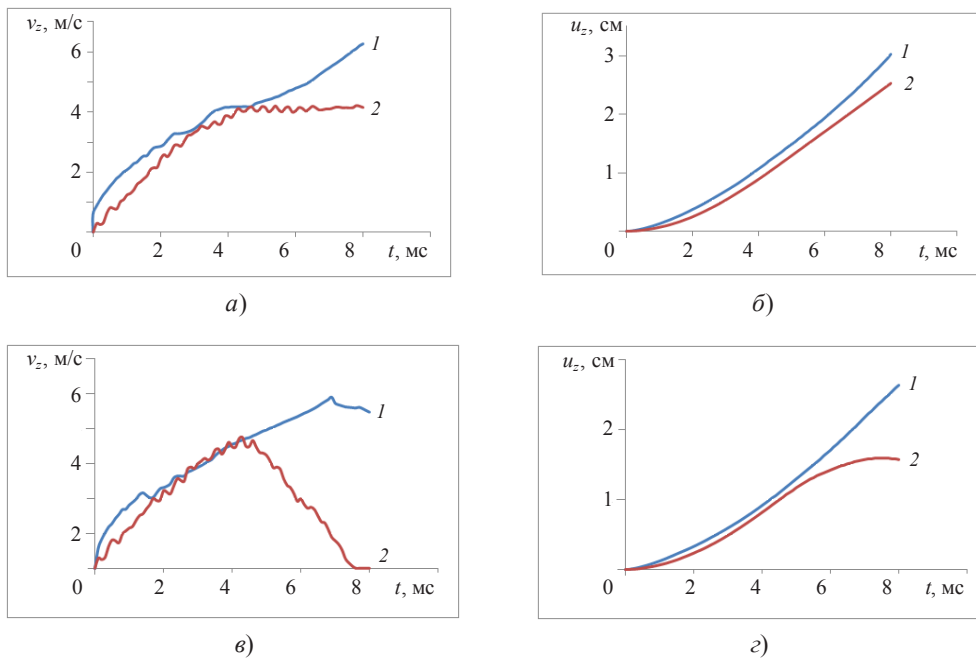


Рис. 3

На рис. 4,а приведен график контактной силы, вызываемой действием на оболочку груза, в зависимости от времени. Трубопровод с жидкостью в рассматриваемый интервал времени неоднократно отскакивает от опоры. Волновые процессы в жидкости носят сложный характер, в частности, в некоторые моменты времени формируются зоны отрыва жидкости от внутренней поверхности оболочки. Графики среднего давления в жидкости для случаев оболочки, опертой на неподвижную плоскую поверхность, и безопорной оболочки приведены на рис. 4,б под номерами 1 и 2 соответственно.

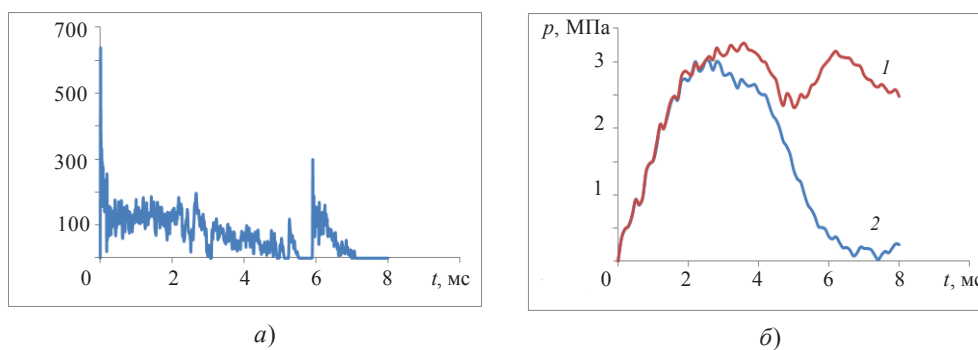


Рис. 4

Как видно из графиков, среднее давление в жидкости для случая оболочки, опертой на неподвижную плоскую поверхность, не падает так сильно, как для безопорного трубопровода, а совершает колебания около уровня $\approx 2,7$ МПа. Таким образом, как наличие опоры, так и внутренняя жидкость в трубе существенным образом изменяют все характеристики движения и деформирования трубопровода при взаимодействии с ударником, что необходимо учитывать при прогнозировании его динамического поведения.

Заключение

В результате проведенных численных исследований установлено, что наличие жидкости существенно увеличивает контактные нагрузки на трубопровод, но снижает среднее значение скорости его движения и уровень окружного напряжения в нем. Волновые процессы в трубной оболочке и внутренней жидкости носят сложный характер, возникают пластические деформации изгиба в трубе, эффекты отрыва и кавитации в жидкости. Моделирование ударного воздействия на трубопровод, опирающийся на неподвижную плоскую поверхность, показало большое изменение всех кинематических и динамических характеристик процессов ударного нагружения в отличие от неопорного (свободного) трубопровода. Получены зависимости от времени средних кинематических и динамических параметров в трубной оболочке и жидкости, которые могут быть использованы в качестве начальных и граничных условий для расчета динамики пространственной трубопроводной системы в целом.

Литература

1. Баженов, В.Г. Численное моделирование деформирования газопровода высокого давления при соударении с фрагментами разрушенных труб / В.Г. Баженов, А.И. Кибец, А.В. Кочетков // Проблемы машиностроения и надежности машин. – 2002. – №1. – С. 106–110.

2. *Котов, В.А.* Моделирование соударения подземного трубопровода с пластиной в плоской постановке / В.А. Котов, Д.Г. Корюхин, А.В. Кочетков // Вестник ННГУ. Сер. Механика. – 2000. – Вып. 2. – С. 67–73.

3. О математическом моделировании поражения многониточного газопровода осколками от взрыва одной из ниток / В.Г. Баженов [и др.] // Итоги и перспективы десятилетнего сотрудничества Минатома РФ и ОАО «Газпром»: Тр. научно-практ. конф. – М., 2000. – Ч. I. – С. 148–153.

4. *Баженов, В.Г.* О численной реализации вариационно-разностной моментной схемы решения нелинейных задач динамики нетонких оболочек при импульсном воздействии / В.Г. Баженов, С.В. Зефирова, А.И. Кибец // Прикладные проблемы прочности и пластичности. Методы решения: Всесоюз. межвуз. сб. / Горьков. ун-т. 1988. – С. 66–73.

5. Пакет прикладных программ «Динамика-2» / В.Г. Баженов [и др.] // Прикладные проблемы прочности и пластичности. Исследование и оптимизация конструкций: Всесоюз. межвуз. сб. / Горьков. ун-т. – 1987. – С. 4–13.

6. *Коротких, Ю.Г.* О моделировании процессов непропорционального упругопластического деформирования на базе уравнений пластичности с комбинированным упрочнением / Ю.Г. Коротких, Г.А. Маковкин // Прикладные проблемы прочности и пластичности: Межвуз. сб. / Нижегород. ун-т. – 1997. – С. 5–10.

7. *Баженов, В.Г.* Численное моделирование задач нестационарного контактного взаимодействия деформируемых конструкций / В.Г. Баженов, С.В. Зефирова, И.Н. Цветкова // Прикладные проблемы прочности и пластичности. Численное моделирование физико-механических процессов: Межвуз. сб. / Нижегород. ун-т. – 1995. – С. 154–160.

[13.10.2011]

NUMERICAL MODELING OF THE PIPELINE WITH LIQUID DEFORMATION UNDER THE IMPACT LOADING

S.V. Zefirov, A.V. Kochetkov, I.A. Myasumov, A.O. Savikhin

The mathematical model and the numerical analysis procedure of a plane dynamic interaction problem for a striker and a pipeline with and without liquid are described. Some particular features of wave processes are shown for a free of support section of a pipeline and for a pipeline supported on a fixed flat surface. The influence of a filling up liquid is analyzed.

Keywords: pipeline, elasticity, plasticity, deformation, impact, liquid.